

Hinweis

Die vorliegende Lösung wurde im Rahmen der jeweiligen Lehrveranstaltung an der Universität Bonn erstellt. Sofern im oberen Teil der ersten Seite oder auf der unten angegebenen Webseite nicht anders vermerkt, wurde diese Lösung von mir, Marvin Zanke, alleine angefertigt und eingereicht. Bei allem in einer anderen Farbe als dem üblichen Blau handelt es sich in der Regel um Korrekturen von mir oder des Tutors. Für mehr Informationen und meine gesamten Unterlagen, siehe:

<https://www.physics-and-stuff.com/>

Ich erhebe keinen Anspruch auf Richtigkeit und Vollständigkeit der vorliegenden Lösungen! Dies gilt ebenso für obengenannte Korrekturen.

Dieses Werk von [Marvin Zanke](#) ist lizenziert unter einer [Creative Commons Namensnennung – Nicht-kommerziell – Weitergabe unter gleichen Bedingungen 4.0 International Lizenz](#).

1) - Der Grundzustand $n=1$ sieht in x -, y -, z -Achse gleich aus, also symmetrische Wahrscheinlichkeiten. Der Imaginärteil ist 0.

Stopfen
im
Anhang

- Bei $\psi_{2,1,1}$ wechselt die Parität an der x -Achse bei der 0. An der y -Achse genau umgekehrte Parität. In Richtung z -Achse keine Welle

- $2, 1, 0$ nur Welle in z -Richtung, nur Reell.

- $2, 1, 1$ Wieder Reell in x ; Imaginär in y -Richtung, keine Welle in z -Richtung. Gleiche Parität.

...

1	2	3	4	5
2	3	4	5	6
3	4	5	6	7
4	5	6	7	8
5	6	7	8	9

Hinweis

Allgemein sieht die Graphen einfach Schritte in den Orbitalen, die wir an der n gesehen haben. Also Schritte durch die z -Achse. Pkt. ✓

2. $n=1, l=0$

$$\psi_{10}(\rho, \theta, \varphi) = \sqrt{\left(\frac{2}{a_0}\right)^3 \frac{0!}{2}} \cdot e^{-\rho} L_2^1(2\rho) Y_{00}(\theta, \varphi)$$

$$\psi_{20,1n}(\rho, \theta, \varphi) \cdot e^{-\frac{i}{\hbar} E t}$$

Zeitentwicklung

$$\text{Überlagerung: } \psi_{100} e^{-\frac{i}{\hbar} E_1 t} + \psi_{20,1n} e^{-\frac{i}{\hbar} E_2 t} \quad \checkmark$$

$$\text{wobei } E = E_1 + E_2$$

```

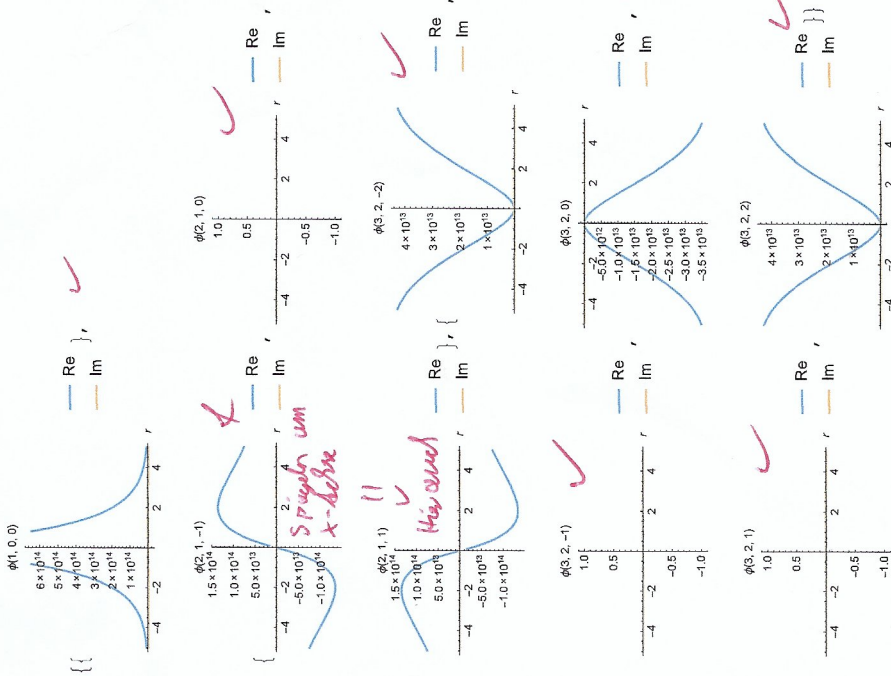
Unprotect[Power];
Power[0, 0] = 1;
Protect[Power];
a := 5.29*^-11;
phi[n_, l_, m_, r_, t_, p_] :=
  Sqrt[(2/(n*a))^3 * Factorial[n-1-1]] / (2*n*Factorial[n+1]) *
  Exp[-Abs[r/n]] * (2*Abs[r/n])^l *
  LaguerreL[n-1-1, 2*1+1, 2*Abs[r/n]] * SphericalHarmonicY[l, m, t, p]

```

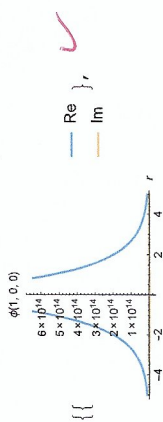
```

table[Plot[{{Re[phi[n, n-1, m, x, Pi/2, Pi/2, (1-Sign[x])]],
  Im[phi[n, n-1, m, x, Pi/2, Pi/2, (1-Sign[x])]]},
  {x, -5, 5}, AxesLabel -> {r, phi[n, n-1, m]},
  PlotLegends -> {"Re", "Im"}], {n, 1, 3}, {m, 1-n, n-1}]

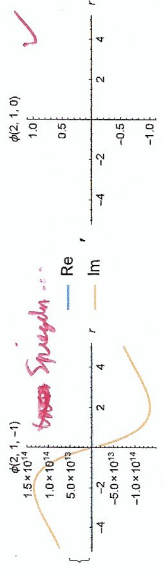
```



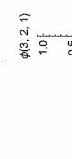
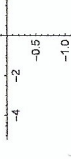
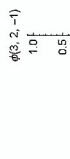

```
Table[Plot[{Re[phi[n, n-1, m, x, Pi/2, Pi/2 * (2 - Sign[x])]], Im[phi[n, n-1, m, x, Pi/2, Pi/2 * (2 - Sign[x])]]}, {x, -5, 5}, AxesLabel -> {x, phi[n, n-1, m]}, PlotLegends -> {"Re", "Im"}], {n, 1, 3}, {m, 1-n, n-1}]
```



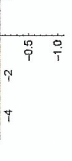
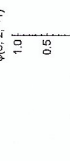
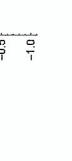
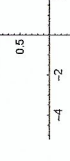
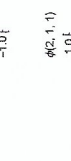
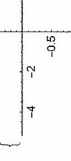
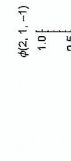
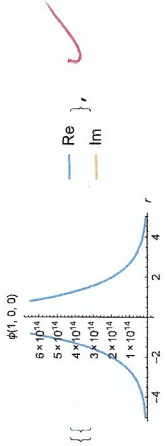
Spiegel



Spiegel



```
Table[Plot[{Re[phi[n, n-1, m, x, 0, 0]], Im[phi[n, n-1, m, x, 0, 0]]}, {x, -5, 5}, AxesLabel -> {x, phi[n, n-1, m]}, PlotLegends -> {"Re", "Im"}], {n, 1, 3}, {m, 1-n, n-1}]
```



Ich kann hier nicht ablesen, welches x, y oder z entspricht.
 Weil mir der geangst hat: ~~22~~ $\frac{58}{27}$ Punkte (33.5%)

II) Kernmasse m_A

Reduzierte Masse $\mu = \frac{m_p m_e}{m_p + m_e}$

1) Kernladungszahl Z

$$\mu_A = \frac{m_A m_e}{m_A + m_e}, \quad \mu_Z = \frac{m_B m_e}{m_B + m_e}$$

$$E_n = -\frac{1}{2} \frac{\alpha^2 m_e c^2}{n^2}$$

$$\Delta E_A = E_{n_A} - E_{j_A} = -\frac{1}{2} \frac{\alpha^2 \mu_A c^2}{x^2} + \frac{1}{2} \frac{\alpha^2 \mu_A c^2}{y^2} = h \nu_A$$

$$\Leftrightarrow \frac{1}{2} \alpha^2 \mu_A c^2 \left(\frac{1}{y^2} - \frac{1}{x^2} \right) = h \nu_A$$

$$\Delta E_B = E_{x_B} - E_{y_B} = -\frac{1}{2} \frac{\alpha^2 \mu_B c^2}{x^2} + \frac{1}{2} \frac{\alpha^2 \mu_B c^2}{y^2} = h \nu_B$$

$$\Leftrightarrow \frac{1}{2} \alpha^2 \mu_B c^2 \left(\frac{1}{y^2} - \frac{1}{x^2} \right) = h \nu_B$$

$$\Rightarrow \frac{\nu_A - \nu_B}{\nu_A} = \frac{1}{2h} \frac{\alpha^2 \mu_B c^2 \left(\frac{1}{y^2} - \frac{1}{x^2} \right)}{\alpha^2 \mu_A c^2 \left(\frac{1}{y^2} - \frac{1}{x^2} \right)} = 1 - \frac{\nu_B}{\nu_A}$$

$$= 1 - \frac{\frac{1}{2h} \alpha^2 \mu_B c^2 \left(\frac{1}{y^2} - \frac{1}{x^2} \right)}{\frac{1}{2h} \alpha^2 \mu_A c^2 \left(\frac{1}{y^2} - \frac{1}{x^2} \right)} = 1 - \frac{\mu_B}{\mu_A}$$

$$= 1 - \frac{m_B m_e}{m_A m_e} \cdot \frac{m_A + m_e}{m_B + m_e} = 1 - \frac{m_B}{m_A} \cdot \frac{m_A + m_e}{m_B + m_e} = \delta_{AB}$$

Gesucht ist, wo $\frac{m_B}{m_A} \cdot \frac{m_A + m_e}{m_B + m_e}$ am kleinsten ist.

$$= \frac{Z m_p}{(Z-1) m_p} \cdot \frac{(Z-1) m_p + m_e}{Z m_p + m_e} = \frac{Z(Z-1) m_p^2 + (Z-1) m_p m_e}{Z(Z-1) m_p^2 + (Z-1) m_p m_e}$$

$$= \frac{(Z-1) m_p^2 + m_p m_e}{(Z-1) m_p^2 + \frac{(Z-1)}{Z} m_p m_e}$$

$$\frac{m_B}{m_A} \cdot \frac{m_A + m_e}{m_B + m_e} = \frac{(Z-1) m_p}{Z m_p} \cdot \frac{Z m_p + m_e}{(Z-1) m_p + m_e}$$

$$= \frac{Z(Z-1) m_p^2 + (Z-1) m_p m_e}{Z(Z-1) m_p^2 + Z m_p m_e} = \frac{(Z-1) m_p^2 + \frac{(Z-1)}{Z} m_p m_e}{(Z-1) m_p^2 + m_p m_e}$$

Am kleinsten für kleine Z , also Wasserstoff (Zähler am kleinsten!)

2) Es gilt $|E(r)| = \frac{e}{4\pi\epsilon_0 R_p^3} r$ für innen.

$$|E(r)| = \frac{e}{4\pi\epsilon_0 r^2} \text{ für außen}$$

Das Potential ist: $\varphi_a(r) = \frac{e}{4\pi\epsilon_0 r}$ außen

Für innen gilt:

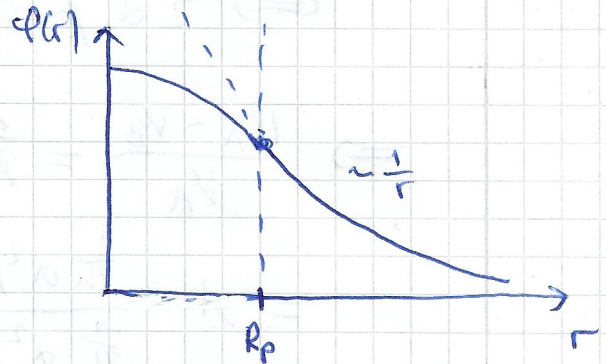
$$\varphi_i(r) = -\int E(r) dr = -\frac{e}{8\pi\epsilon_0 R_p^3} r^2 + C$$

$$\text{und } \varphi_i(R_p) = \varphi_a(R_p) = \frac{e}{4\pi\epsilon_0 R_p} = -\frac{e}{8\pi\epsilon_0 R_p} + C$$

$$\Rightarrow C = \frac{3e}{8\pi\epsilon_0 R_p} \Rightarrow \varphi_i(r) = -\frac{e}{8\pi\epsilon_0 R_p^3} r^2 + \frac{3e}{8\pi\epsilon_0 R_p}$$

$$\varphi_i(r) = \frac{e}{8\pi\epsilon_0 R_p} \left(-\frac{r^2}{R_p^2} + 3 \right) = \frac{3e}{8\pi\epsilon_0 R_p} \left(1 - \frac{r^2}{3R_p^2} \right)$$

$$\rightarrow \varphi(r) = \begin{cases} \frac{3e}{8\pi\epsilon_0 R_p} \left(1 - \frac{r^2}{3R_p^2} \right) & 0 \leq r \leq R_p \\ \frac{e}{4\pi\epsilon_0 r} & r > R_p \end{cases}$$



$$E_{\text{Pot}} = \begin{cases} \frac{-3e^2}{8\pi\epsilon_0 R_p} \left(1 - \frac{r^2}{3R_p^2} \right), & 0 \leq r \leq R_p \\ \frac{-e^2}{4\pi\epsilon_0 r}, & r > R_p \end{cases}$$

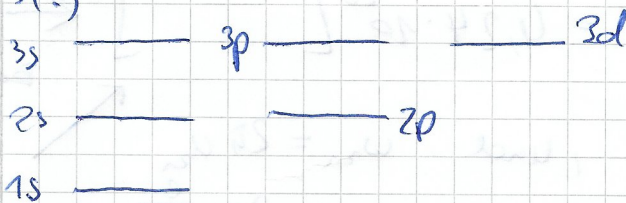
Außerhalb der Ausdehnung des Protons bleiben die Energiezustände gleich.

Innerhalb wird die Bindung schwächer, die Elektronen haben (Vorsicht!) eine größere potentielle Energie. ✓

Man kann das Spektrum von einem Atom zerlegen.

Berechnet man nun den Effekt oben mit ein, so erhält man ein anderes Spektrum als man ohne diesen Effekt erwartet hätte. Dadurch erhält man Auskunft über die Ladungsverteilung. ✓

II)
1.)



Hier muss gelten:

$\Delta l = \pm 1$ und

$\Delta n > -1$

$2s \rightarrow /$ da bei $1s \quad \Delta l = 0$

$3s \rightarrow 2p$

$3p \rightarrow 2s, 1s$

Die längste Lebensdauer hat demnach der $2s$ Zustand, da er die wenigsten Möglichkeiten hat zu zerfallen (nur verbotene Übergänge? ~)

Am instabilsten ist $3p$ ✓

$$2.) \langle \psi_{1s} | e^{-\hat{T}} | \psi_{3p} \rangle = \int \psi_{100} e^{-\hat{T}} \psi_{210} d^3r = e \int r \psi_{100}^* \psi_{210} d^3r \quad (*)$$

$$\psi_{100}(0, \varphi) = \frac{1}{\sqrt{4\pi}}, \quad \psi_{210}(0, \varphi) = \sqrt{\frac{3}{4\pi}} \cos\theta$$

$$\psi_{100} = \frac{2}{a_0^{3/2}} \cdot e^{-\frac{r}{a_0}} \cdot \sqrt{\frac{1}{4\pi}}$$

$$\psi_{210} = \sqrt{\frac{1}{24a_0^3}} \cdot \frac{r}{a_0} e^{-\frac{r}{2a_0}} \sqrt{\frac{3}{4\pi}} \cos\theta$$

$$\Rightarrow (*) = e \int \int \int dr d\theta d\varphi r \cos\theta \frac{1}{\sqrt{4\pi}} \cdot \frac{2}{a_0^{3/2}} e^{-\frac{r}{a_0}} \cdot \sqrt{\frac{1}{24a_0^3}} \frac{r}{a_0} e^{-\frac{r}{2a_0}} \sqrt{\frac{3}{4\pi}} \cos\theta \underbrace{\int \sin\theta d\theta}_{\text{det.}}$$

$$= 2ue \int \int dr d\theta \cos^2\theta \sin\theta r^4 \frac{1}{\sqrt{4\pi}} \cdot \frac{1}{a_0^4} \cdot e^{-\frac{r}{a_0}} \cdot e^{-\frac{r}{2a_0}} \cdot \frac{1}{\sqrt{2}}$$

$$= \frac{2ue}{\sqrt{4\pi}} \cdot \frac{1}{\sqrt{2}a_0^4} \int \int r^4 \sin\theta \cos^2\theta e^{-\frac{3r}{2a_0}} d\theta dr$$

Mathematisch $\rightarrow = \frac{e}{2} \cdot \frac{1}{\sqrt{2}a_0^4} \int r^4 e^{-\frac{3r}{2a_0}} dr = \frac{2}{3} = \frac{e}{3\sqrt{2}a_0^4} \int r^4 e^{-\frac{3r}{2a_0}} dr$

$$= \frac{e}{\sqrt{2}3a_0^4} \left(-\frac{2}{81} a_0^5 \cdot 128 \right)$$

$$= \frac{128 a_0 \cdot 2}{\sqrt{2} \cdot 243} = \frac{128 \sqrt{2}}{243} a_0 \cdot e \quad \checkmark$$

$$= \langle d_{21} \rangle$$

Mathematisch $\left[-\frac{2}{81} a_0^5 \left(128a_0^4 + 128a_0^3 r + 144a_0^2 r^2 + 768r^3 + 27r^4 \right) \right]$
 $= -\frac{2}{81} a_0 (128a_0^4)$

Aus der Vorlesung wissen wir: $B_{21} = \frac{\langle d_{21}^2 \rangle \pi}{3\epsilon_0 \hbar^2} = \frac{\pi}{3\epsilon_0 \hbar^2} \cdot e^2 a_0^2 \cdot \frac{128^2 \cdot 2}{243^2}$

$= 4,24 \cdot 10^{20} [\quad] \leftarrow ??$

Einheit $\frac{m^3}{Js}$?

Außerdem gilt: $A_{21} = \frac{\hbar \omega_{21}^3}{\pi^2 c^3} B_{21}$, und $\omega_{21} = 2\pi \nu_{21} = 2\pi \frac{c}{\lambda_{21}}$

$$= \frac{\hbar (2\pi)^3 \cdot \frac{c^3}{\lambda_{21}^3}}{\pi^2 c^3} B_{21} = \frac{8\hbar \pi^3}{\pi^2 \lambda_{21}^3} B_{21} = \frac{8\hbar \pi B_{21}}{\lambda_{21}^3} \left(\frac{1}{\lambda_{21}^3} \cdot 124 \cdot 10^9 \right) [\quad]$$

In Wasserstoff gilt: $\Delta E = 13,6 \text{ eV} \left(\frac{1}{1} - \frac{1}{n} \right) = 1,634 \cdot 10^{-18} \text{ J}$

$(*) = \frac{8\hbar \pi B_{21}}{c^3} \nu_{21}^3 = \frac{8\hbar \pi B_{21}}{c^3} \frac{(\Delta E)^3}{\hbar^3} = \frac{8\hbar \pi B_{21}}{c^3} \frac{\Delta E^3}{\hbar^3 (2\pi)^3}$

$$= \frac{B_{21} \cdot \Delta E^3}{c^3 \cdot \hbar^2 \pi^2} = 625472211 [\quad] \leftarrow ? \text{ Einheit?}$$

$\tau = \frac{1}{A_{21}} = 1,5988 \cdot 10^{-9} \text{ s} \checkmark$

Für den klassischen Dipol gilt:

$\tau = \frac{65 \epsilon_0 c^3 m_e}{e^2 \omega^2} \quad , \quad \omega = \frac{\Delta E}{\hbar}$

$$= 6,647 \cdot 10^{-10} \text{ s}$$

Das OM-Modell ist also fast exakt für die beobachtete Lebensdauer!

3. Es müssen nur p-Zustände berücksichtigt werden, da $\Delta l = \pm 1$ gelten muss. Aus s ist also nur p möglich und vice versa!

4. ✓

IV)

$$\phi(u) = \frac{1}{2\pi^{3/2} a_B^{3/2}} \frac{1}{(u^2 / (2\hbar)^2 + \frac{1}{4\pi^2 a_B^2})^{3/2}}$$

$$\psi_{100} = \frac{2}{a_0^{3/2}} e^{-r/a_0} \sqrt{\frac{1}{4\pi}}$$

$$\langle \hat{p}_x \rangle = \int_{-\infty}^{\infty} \phi^* p_x \phi dp_x = \frac{1}{4\pi^2 a_B^5} \int_{-\infty}^{\infty} p_x \frac{1}{\left(\frac{p^2}{(2\hbar)^2} + \frac{1}{4\pi^2 a_B^2}\right)^{3/2}} dp_x$$

ungerade fkt gerade fkt

$$= 0 \checkmark$$

$$\langle \Delta p_x \rangle^2 = \langle p_x^2 \rangle - \langle p_x \rangle^2 = \langle p_x^2 \rangle$$

$$= \frac{1}{4\pi^2 a_B^5} \int_{-\infty}^{\infty} p_x^2 \frac{1}{\left(\frac{p^2}{(2\hbar)^2} + \frac{1}{4\pi^2 a_B^2}\right)^{3/2}} dp_x$$

Mathematik
 \downarrow
 $= 4\pi^2 \hbar^2$
 $= \frac{8\hbar^3}{a_0^2}$

$$\langle \hat{x} \rangle = \int_{-\infty}^{\infty} x \phi^* \phi dx = \int_{-\infty}^{\infty} x \phi^2 dx$$

ungerade fkt gerade fkt

$$= 0 \checkmark$$

$$\langle \Delta x \rangle^2 = \langle x^2 \rangle - \langle x \rangle^2 = \langle x^2 \rangle$$

$$= \int_{-\infty}^{\infty} x^2 \frac{1}{a_0^3} e^{-2r/a_0} \frac{1}{4\pi} = \frac{1}{2a_0^2}$$

$$\Rightarrow (\Delta x)^2 (\Delta p_x)^2 = 2\hbar^2 \Leftrightarrow \Delta p_x \Delta x = \sqrt{2} \hbar > \frac{\hbar}{2} \quad (\checkmark)$$

Heisenberg erfüllt.

Das Kern kann nicht im Kern sitzen. Wäre Δx noch kleiner, das Elektron also im Kern exakt lokalisiert, so wäre die Unsicherheit im Impuls sehr hoch. Das Elektron würde anschaulich also eine Zitterbewegung durchführen.

Genaue: e^- im Kern bedeutet, dass Δx u. Δp ~~sehr~~ 0 wären.